

COMPTE RENDU TP 2*

Processus stationnaires au sens large

Guilhem MARION et Clément LE MOINE VEILLON

October 9, 2018

1 Observation de processus, calcul des moyennes et des covariances (simuproc.m)

1.1 Bruit blanc $W(n)$ de variance σ^2

$M_W = 0$ pour un bruit blanc

$$\text{cov}(W(n_1), W(n_2)) = \mathbb{E}[W(n_1)^2 W(n_2)^2] = \sigma^2 \delta(n_1, n_2)$$

1.2 Processus AR1 causal défini par $H(z) = \frac{1}{1-az^{-1}}$

Après calcul on trouve la relation $Y(n) = \sum_{i=0}^n a^i W(n-i)$

La moyenne du processus est donc trivialement nulle comme somme de moyennes nulles de bruits blancs.

$$\text{La covariance : } \text{cov}(X(n_1), X(n_2)) = \frac{1-a^{n_1-n_2}}{1-a^{n_1+n_2}}$$

1.3 Processus sinusoïdal $X(n) = b \cos(2\pi\nu_0 n + \phi)$ où $\nu_0 \in [0, 0.5[$, ϕ étant une v.a. uniforme sur $[0, 2]$ indépendante des $W(n)$

$$M_X(n) = b \int_0^{2\pi} \cos(2\pi\nu_0 n + \phi) \frac{d\phi}{2\pi} + 0 = 0$$

Il vient par calcul que $\text{cov}(X(n_1), X(n_2)) = 0$

*Le code est en libre accès sur <https://github.com/GuiMarion/SignalProcessing>

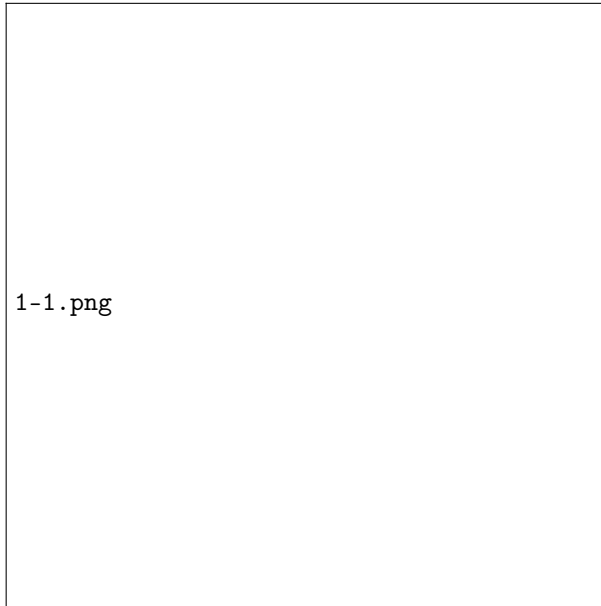


Figure 1: Bruit Blanc

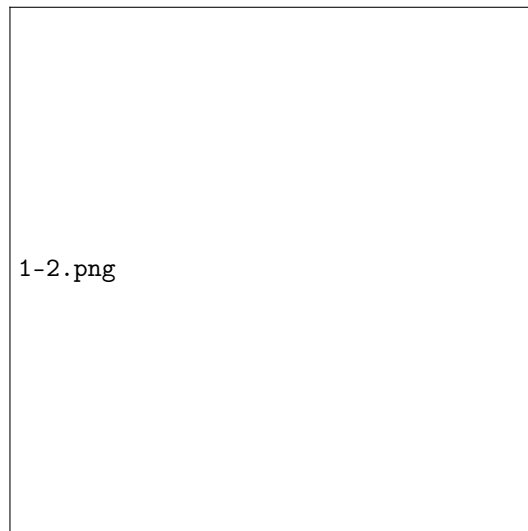
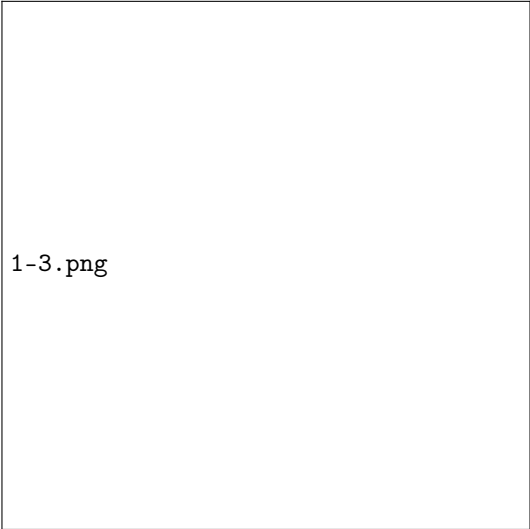


Figure 2: Processus AR1 causal

2 Estimation de la densité spectrale de puissance, périodogramme

2.1 Expression de $I_X(e^{2i\pi\nu})$ en fonction de la TFTD de X

$$\begin{aligned} I_X(e^{2i\pi\nu}) &= \sum_{p=-N+1}^{N-1} \frac{1}{N} \sum_{i=1}^{N-p} X_{i+p} \bar{X}_i e^{-2i\pi\nu p} \\ &= \frac{1}{N} \sum_{p=-N+1}^{N-1} \sum_{i=1}^{N-p} X_{i+p} \bar{X}_i e^{-2i\pi\nu p} \end{aligned}$$



1-3.png

Figure 3: Processus sinusoïdal

On fait un changement de variable :

$$\begin{cases} p &= n_2 - n_1 \\ i &= n_1 \end{cases}$$

$$\begin{aligned} I_X(e^{2i\pi\nu}) &= \frac{1}{N} \sum_{p=-N+1}^{N-1} \sum_{i=\max(0, -p)}^{N-1+\min(0, -p)} X_{n_2} \bar{X}_{n_1} e^{-2i\pi\nu p} \\ &= \frac{1}{N} \sum_{n_1=0}^{N-1} \sum_{n_2=0}^{N-1} X_{n_2} \bar{X}_{n_1} e^{-2i\pi\nu(n_2-n_1)} \\ &= \frac{1}{N} \left(\sum_{n_1=0}^{N-1} \bar{X}_{n_1} e^{2i\pi\nu n_1} \right) \left(\sum_{n_2=0}^{N-1} X_{n_2} e^{-2i\pi\nu n_2} \right) \\ &= \frac{1}{N} \overline{\left(\sum_{n_1=0}^{N-1} X_{n_1} e^{2i\pi\nu n_1} \right)} \left(\sum_{n_2=0}^{N-1} X_{n_2} e^{-2i\pi\nu n_2} \right) \\ &= \frac{1}{N} |TFTD[X(n)]|^2 \end{aligned}$$

2.2 Algorithme de calcul de $I_X(e^{2i\pi\nu})$

Le code suivant permet d'obtenir $I_X(e^{2i\pi\nu})$ à partir de la TFD en posant $\nu = \frac{k}{M}$ où $k \in [0, N-1]$ et $M \geq N$, on obtient également la variance :

```
TFD = fft(X, m);
IX = (1/n)*abs(TFD).^2 ;

Variance = var(IX);
```

Ensuite on teste le code pour les 3 processus de la partie 1 :

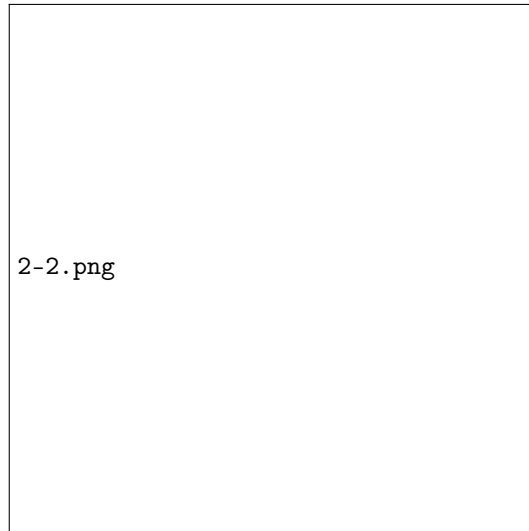


Figure 4: Bruit blanc

Figure 5: Processus AR1 causal

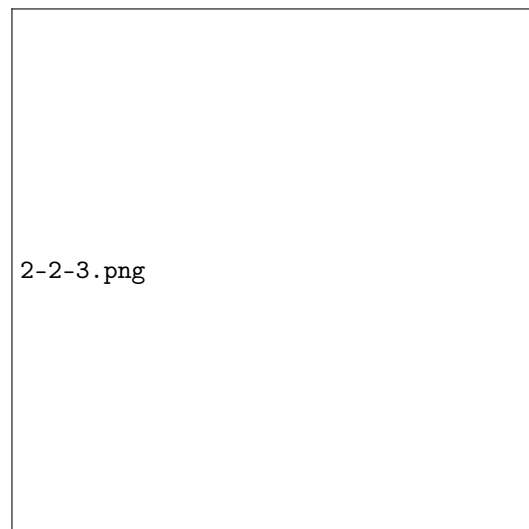


Figure 6: Processus sinusoïdal

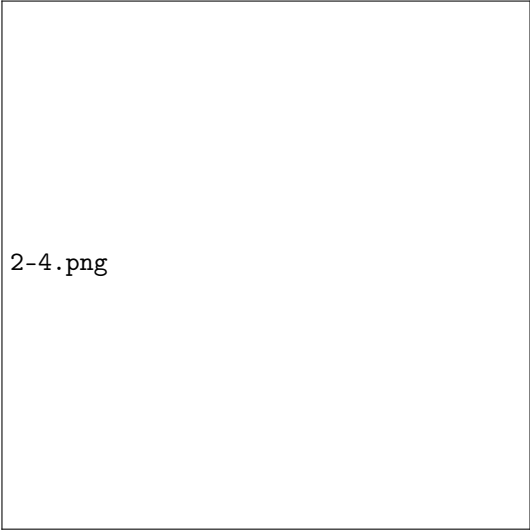
2.3 Calcul de la s  quence des autocovariances estim  es biais  es $R_{xx}(p)$    partir de $I_X(e^{2i\pi \frac{k}{M}})$

Le code suivant permet d'obtenir la s  quence :

```
RXX = ifft (IX , m);
```

2.4 variance du p  riodogramme d'un bruit blanc pour plusieurs horizons d'observation N

On calcule la moyenne des variances sur 1000 r  p  titions en fonction de N.



2-4.png

Figure 7: Moyenne des variances en   chelle log2

3 Filtrage des processus, mod  lisation AR de la parole

3.1 Equations de Yule-Walker

Montrons que pour tout $k \leq 1$ on a $\mathbb{E}[X(n-k)W(n)] = 0$:

On prend $k \leq 1$ donc $X(n-k)$ et $W(n)$ sont ind  pendantes et W est un bruit blanc , par suite :

$$\mathbb{E}[X(n-k)W(n)] = \mathbb{E}[X(n-k)]\mathbb{E}[W(n)] \text{ et } \mathbb{E}[W(n)] = 0$$

Alors :

$$\mathbb{E}[X(n-k)W(n)] = 0$$

On en d duit une relation entre les $R_{xx}(k) \dots R_{xx}(k-p)$ pour $k \geq 1$:

$$\begin{aligned} X_n &= \sum_{m=1}^p a_m X_{n-m} + W_n \\ \mathbb{E}[X_n X_{n-k}^-] &= \sum_{m=1}^p a_m \mathbb{E}[X_{n-m} X_{n-k}^-] + \mathbb{E}[W_n X_{n-k}^-] \end{aligned}$$

On pose $n_1 = n - k$

Or $\mathbb{E}[X_{n-m} X_{n-k}^-] = \mathbb{E}[X_{n_1+k-m} X_{n_1}^-] = R_X(k-m)$ et $\mathbb{E}[W_n X_{n-k}^-] = 0$ par la question pr c dente, il vient que :

$$\mathbb{E}[X_{n_1} X_{n_1-k}^-] = \sum_{m=1}^p a_m R_X(k-m)$$

Et

$$\mathbb{E}[X_{n_1} X_{n_1-k}^-] = \mathbb{E}[X_{n+k} \bar{X}_n]$$

Donc

$$\mathbb{E}[X_{n+k} \bar{X}_n] = \sum_{m=1}^p a_m R_X(k-m)$$

On en d duit que :

$$\begin{aligned}
\mathbb{E}[\hat{R}_X(k)] &= \frac{1}{N} \sum_{n=0}^{N-k-1} \mathbb{E}[\bar{X}_n X_{n+k}] \\
&= \frac{1}{N} \sum_{n=0}^{N-k-1} \left(\sum_{m=1}^p a_m R_X(k-m) \right) \\
&= \frac{N-k}{N} \sum_{m=1}^p a_m R_X(k-m)
\end{aligned}$$

En passant la limite quand N tend vers l'infini dans les deux membres de l'ÃgalitÃ, on obtient finalement :

$$R_X(k) = \sum_{m=1}^p a_m R_X(k-m)$$

cas $k = 0$

$$\mathbb{E}[X_n W_n] = \sum_{m=1}^p a_m \mathbb{E}[X_{n-m} W_n] + \mathbb{E}[W_n W_n]$$

Or $\mathbb{E}[X_{n-m} W_n] = 0$ car X et W sont indÃpendantes pusique $m \geq 1$
Et $\mathbb{E}[W_n W_n] = \sigma^2$

$$\begin{aligned}
\mathbb{E}[\hat{R}_X(0)] &= \frac{1}{N} \sum_{n=0}^{N-k-1} \mathbb{E}[\bar{X}_n X_n] \\
&= \frac{1}{N} \sum_{n=0}^{N-k-1} \left(\sum_{m=1}^p a_m R_X(-m) + \sigma^2 \right) \\
&= \frac{N-k}{N} \left(\sum_{m=1}^p a_m R_X(k-m) + \sigma^2 \right)
\end{aligned}$$

En passant la limite quand N tend vers l'infini dans les deux membres de l'ÃgalitÃ, on obtient finalement :

$$R_X(0) = \sum_{m=1}^p a_m R_X(-m) + \sigma^2$$

Pour résumer, on a :

$$\begin{cases} R_X(0) &= \sum_{m=1}^p a_m R_X(-m) + \sigma^2 \\ R_X(k) &= \sum_{m=1}^p a_m R_X(k-m) \quad \text{pour } k \geq 1 \end{cases}$$

Forme matricielle du problème : Les rangs k correspondent aux lignes de la matrice, il y en a donc $p+1$, les colonnes correspondent aux indices i des a_i , il y en a également $p+1$. Pour s'en convaincre on peut écrire le système précédent :

$$\begin{cases} R_X(0) - \sum_{m=1}^p a_m R_X(-m) &= \sigma^2 \\ R_X(k) - \sum_{m=1}^p a_m R_X(k-m) &= 0 \quad \text{pour } k \geq 1 \end{cases}$$

$$\begin{pmatrix} R_X(0) & -a_1 R_X(-1) & \cdots & -a_p R_X(-p) \\ R_X(1) & -a_1 R_X(0) & \cdots & -a_p R_X(1-p) \\ R_X(2) & -a_1 R_X(1) & \cdots & -a_p R_X(2-p) \\ \vdots & \vdots & \vdots & \vdots \\ R_X(p) & -a_1 R_X(p-1) & \cdots & -a_p R_X(0) \end{pmatrix} = [\sigma^2 \ 0 \ \dots \ 0]^T$$

$$R = \begin{pmatrix} R_X(0) & R_X(-1) & \cdots & R_X(-p) \\ R_X(1) & R_X(0) & \cdots & R_X(1-p) \\ R_X(2) & R_X(1) & \cdots & R_X(2-p) \\ \vdots & \vdots & \vdots & \vdots \\ R_X(p) & R_X(p-1) & \cdots & R_X(0) \end{pmatrix}$$

$$R [1 \ -a_1 \dots -a_p]^T = [\sigma^2 \ 0 \ \dots \ 0]^T$$

R est bien une matrice Toeplitz.

3.2 Estimation

Génération d'un processus AR-4 :

Le code suivant permet de générer un processus AR-4 en fonction d'un vecteur a donné en entrée :

```
function [R] = genAR(p, N, a)
```

```
    R = zeros(1, N);
```



```

sigma = 1;

W = sigma.*randn(1,N);
for n=1:N

    for i=1:min(n-1,p)
        R(n) = R(n) + a(i)*R(n-i);

    end

    R(n) = R(n) + W(n);

end

end

```

Matrice Toeplitz estimée :

```

p = 4;
N = 1000000;
NbRepet = 1000

for poi=1:NbRepet
    [X, phi] = genAR(p,N);

    Autocov = acovb(X);

    R = toeplitz(Autocov(1:p+1));
end

```

l' solution du système (1) :

$$\begin{aligned}
 \hat{R} [1 \ -a_1 \dots -a_p]^T &= [\sigma^2 \ 0 \ \dots \ 0]^T \\
 \hat{R}^{-1} \hat{R} [1 \ -a_1 \dots -a_p]^T &= \hat{R}^{-1} [\sigma^2 \ 0 \ \dots \ 0]^T \\
 [1 \ -a_1 \dots -a_p]^T &= \hat{R}^{-1} [\sigma^2 \ 0 \ \dots \ 0]^T \\
 [\frac{1}{\sigma^2} \ \frac{-a_1}{\sigma^2} \ \dots \ \frac{-a_p}{\sigma^2}]^T &= \hat{R}^{-1} [1 \ 0 \ \dots \ 0]^T
 \end{aligned}$$

donc $v = [\frac{1}{\sigma^2} \ \frac{-a_1}{\sigma^2} \ \dots \ \frac{-a_p}{\sigma^2}]^T$

Comparaison :

On obtient une erreur quadratique moyenne (sur 1000 répétitions) de 0.2884 pour les valeurs estimées des coefficients du vecteur a . Ce qui semble plutôt convainquant, surtout qu'il semble que certains cas pathologiques (à découvrir) font grimper drastiquement cette moyenne.

Application à la parole La synthèse du signal en suivant la procédure *analyse-synthèse* semble très convainquante du fait qu'on entend distinctement la phrase du signal original dans le signal synthétisé. On retrouvera ici les figures correspondantes (fig. 7).

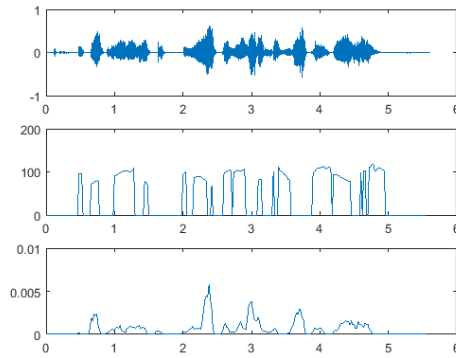


Figure 8: Analyse-synthèse

Nous avons tenté de modifier les intonations de la voix en changeant les valeurs des fréquences de voisement. Dans un premier temps en construisant un algorithme non-déterministe qui tente d'inverser les tendances des fréquences de voisement (i.e. produit une courbe ascendante quand il lit une courbe descendante, cf. fig. 8).

Et aussi une fonction affine croissante (fig. 9).

On remarquera qu'à l'écoute les intonations ne sont que partiellement modifiées et que selon la fonction utilisée on entend surtout un filtre balayant les fréquences.

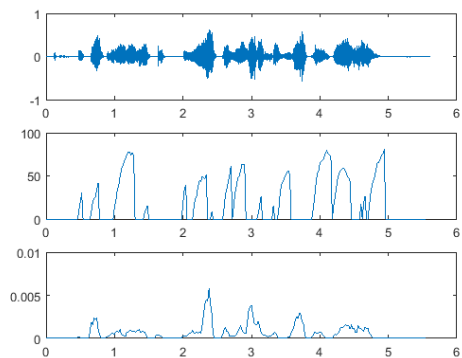


Figure 9: Analyse-synthèse tendances inversées

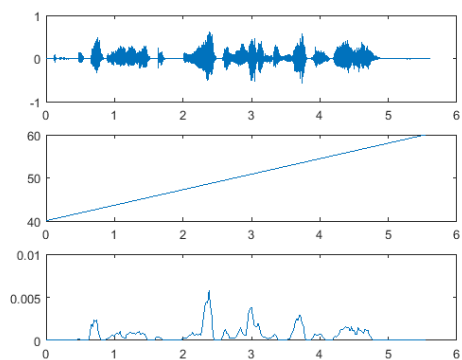


Figure 10: Analyse-synthèse fonction affine